

門形ラーメンの自由振動に関する一考察

ハ戸工業大学 正会員 ○長谷川 明
ハ戸工業大学 正会員 龜山 和男

1. まえがき

本考察は、門形ラーメンの自由振動が各部材の形状変化に対し、どのような変化をするのかを調べたものである。門形ラーメンの形状変化には、様々なケースが考えられるが、ここでは各部材長を等しくとり、各部材を円断面として、この断面の半径を変化させ、ラーメンの自由振動の変化を考察した。解析にあたっては、部材力として、軸力、曲げモーメント、せん断力、ねじりを考慮し、各部材にそれぞれの規準関数を与えて、境界条件によって解く方法を用いた。

2. 自由振動数、及びその振動形の解析方法

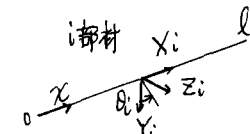
振動時における部材ごとの軸方向変位(X_i)、軸と直角方向変位(Y_i, Z_i)および、ねじり角(θ_i)をそれぞれの規準関数で表す。 X_i は部材に軸上に沿った座標を示す。

$$X_i = A_i \cos k_i x + B_i \sin k_i x \quad (1)$$

$$Y_i = C_i \cos k_i x + D_i \sin k_i x + E_i \cosh k_i x + F_i \sinh k_i x \quad (2)$$

$$Z_i = G_i \cos k_i x + H_i \sin k_i x + I_i \cosh k_i x + J_i \sinh k_i x \quad (3)$$

$$\theta_i = K_i \cos k_i x + L_i \sin k_i x \quad (4)$$



ここで、構造物がある自由振動数Pで振動する時、 i は各部材、各方向とも、同じ振動数で振動すると考え、

$$P = \sqrt{\frac{E}{\rho}} f_0 = \sqrt{\frac{EI_{2i}}{\rho S_i}} f_{2i}^2 = \sqrt{\frac{EI_{2i}}{\rho I_{2i}}} f_t \quad (5)$$

とおく。上式において、Eはヤング率、 ρ は密度、 I_{2i} は2軸に関する断面2次モーメント、 S_i は断面積、 I_{ti} は2軸に関する断面2次モーメント、 G_i はせん断弾性係数、 k_i はねじり定数、 I_{0i} は2次極モーメントである。(1)～(4)を使つて各部材間の節点における境界条件式を書き、門形ラーメンの場合には次のように表わせよ。

面内における 条件	0	$\begin{pmatrix} A_i \\ F_i \\ G_i \\ L_i \end{pmatrix} = \begin{pmatrix} 0 \\ 0 \\ 0 \\ 0 \end{pmatrix}$	(6)	\therefore	$\begin{cases} \text{面内における} \\ \text{条件} \end{cases} = 0$	(7)	$\begin{cases} \text{面外における} \\ \text{条件} \end{cases} = 0$	(8)
--------------	-----	---	-----	--------------	--	-----	--	-----

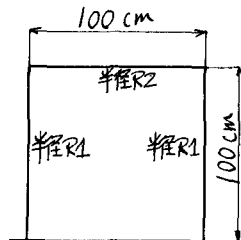
つまり門形ラーメンの場合には、面内における条件(7)から、面内自由振動が、面外における条件(8)から、面外自由振動が求められること、これらは互いに独立な関係にある。このため(5)における

$$P_{\text{面内}} = \sqrt{\frac{E}{\rho}} f_0 = \sqrt{\frac{EI_{2i}}{\rho S_i}} f_{2i}^2, \quad P_{\text{面外}} = \sqrt{\frac{EI_{2i}}{\rho I_{2i}}} f_t = \sqrt{\frac{Gk_i}{\rho I_{2i}}} f_t \quad (9)$$

がそれぞれ独立に存在してよい。

3. 各部材の形状変化に伴う自由振動の変化

上記の手法を用ひ右図のような各部材が半径R_iの円断面をもち、正方形で構成する門形ラーメンについて、R₁とR₂を変化させ、面内および面外の自由振動数を1次から5次まで求めた。なお表-1以下に示す振動数はヤング率E=2.1×10⁶ kg/cm²、ボアソン比ν=0.3、および各部材長を100 cmとして計算してある。表中のたゞ(9)式におけるP_iとの関係は $2\pi f_i = P_i$ である。



4. 考察

門形ラーメンは、2つの柱と1つの梁によって構成されており、これらの部材は、その自身の境界条件に対する固有な自由振動でもあります。これらを前記で示した方法により、計算すると表-2へ表-4のようになります。表-2は、長さ100cmの丸棒が、両端固定梁として曲げ振動を行う時の自由振動数である。表-3は、同じく片持梁として、表-4は、両端自由梁として曲げ振動を行う時の自由振動数である。表-1と表-2へ表-4を比較すると次のようことが考えられます。

イ. CASE1の門形ラーメンの面内振動の f_1, f_2, f_3 はラーメンの梁が両端固定梁として曲げ振動する時の f_1, f_2, f_3 に近い値を示し、又、 f_4 は、柱が片持梁として曲げ振動する時の f_1 に近い。これは、梁の断面が柱の中でも支える2つの柱の断面に比べ著しく小さいため梁にとって柱は固定端と考える近い性格を示し、又柱にとって梁との節点は自由端に近いものであると考えられます。

ロ. 同様に、CASE5の面内振動は、柱の断面が梁に比べ小さいため、柱にとって梁との節点は、固定端に近いものとなり、2つの柱が同じ両端固定梁の曲げ振動をしていると考えられます。

ハ. 一方 CASE1の面外振動の振動数は、ラーメンの梁が両端自由梁として曲げ振動する時の値に近くCASE1の面内とは、全く異なり、両端が固定されていてもかぎらず、両端自由梁としての性格を持つ。

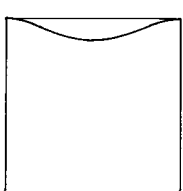
これらから、部材形状が似かよってい場合には、どの部材が構成する構造特有の自由振動が低い次数の自由振動として生じるが、部材形状が大きく異なる場合は、各部材がそれぞれ独立して自由振動する中で、低い振動数をもつ自由振動が、構造全体の低い自由振動と一緒に発生すること、門形ラーメンの場合と言えます。参考のため、図-1にいくつかの振動形を示す。

表-1

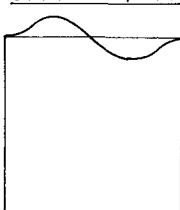
	CASE1 $R_1=20\text{cm}$ $R_2=2\text{cm}$	CASE2 $R_1=10\text{cm}$ $R_2=2\text{cm}$	CASE3 $R_1=4\text{cm}$ $R_2=2\text{cm}$	CASE4 $R_1=2\text{cm}$ $R_2=2\text{cm}$	CASE5 $R_1=0.2\text{m}$ $R_2=2\text{cm}$
面内振動	f_1 182.2	f_1 138.2	f_1 51.53	f_1 26.1	f_1 18.25
	f_2 283.6	f_2 181.9	f_2 167.9	f_2 102.8	f_2 50.27
	f_3 365.1	f_3 414.2	f_3 262.7	f_3 168.1	f_3 98.53
	f_4 502.5	f_4 500.6	f_4 310.3	f_4 181.6	f_4 162.9
	f_5 984.1	f_5 864.8	f_5 492.7	f_5 365.1	f_5 176.2
面外振動	f_1 84.45	f_1 83.86	f_1 18.87	f_1 16.1	f_1 2.73
	f_2 321.5	f_2 317.6	f_2 92.4	f_2 17.5	f_2 4.55
	f_3 721.1	f_3 618.4	f_3 258.3	f_3 91.2	f_3 11.6
	f_4 1228	f_4 636.8	f_4 267.4	f_4 164.1	f_4 24.59
	f_5 1261	f_5 791.1	f_5 486.8	f_5 171.7	f_5 27.62

図-1 振動形の例

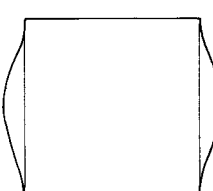
CASE1の面内1次振動



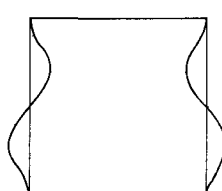
CASE1の面内4次振動



CASE5の面内1次振動



CASE5の面内2次振動



	半径2cm	半径0.2cm
f_1	182.3	18.23
f_2	502.5	50.25
f_3	985.3	98.53
f_4	1629	162.9

表-2

	半径20cm	半径2cm
f_1	2864	2864
f_2	1795	179.5
f_3	5028	502.8
f_4	9853	985.3

表-3

	半径2cm	半径0.2cm
f_1	80.42	8.042
f_2	321.7	32.17
f_3	723.8	72.38
f_4	1286.8	128.68

表-4